



Laboratorium EMVO Sp. J. Urbański, Pawelak
ul. Jasna 1
00-013 Warszawa

tel. +48 22 780 29 64

e-mail: laboratorium@emvo.pl



AB 1630

Sprawozdanie z pomiarów pól elektromagnetycznych - środowisko nr 6/05/OŚ/2023 - ELT



Nr i nazwa stacji	BT44064_BYDGOSZCZ_WYŻYNY
Adres	85-830 Bydgoszcz, ul. Sandomierska 39, woj. zachodniopomorskie
Opracowanie	[REDACTED]
Autoryzacja	[REDACTED]
Podpis	
Data	2023-05-17

Spis treści

1. Informacje ogólne.....	3
2. Podstawa prawna.	3
3. Opis pomiarów.....	3
4. Zróżnicowanie dopuszczalne poziomy pól elektromagnetycznych.....	5
5. Charakterystyka źródeł PEM.....	5
6. Wyniki pomiarów.....	5
7. Stwierdzenie zgodności	6
8. Oświadczenie.....	8
9. Spis załączników.	9

1. Informacje ogólne.

Zleceniodawca	Axians Networks Poland Sp. z o.o. ul. Annopol 4a, 03-236 Warszawa Osoba udzielająca informacji – [REDAKTOWANE]
Istotne informacje dostarczone przez klienta	komplet informacji niezbędnych do wykonania pomiarów i opracowania sprawozdania
Dane otrzymane od klienta mogące mieć wpływ na ważność wyników	Dane anten sektorowych, dane anten radioliniowych, parametry pracy instalacji, poprawka pomiarowa, ustawienie pochylenia anten
Prowadzący instalację	TOWERLINK POLAND SP. z.o.o. , ul. Kasprzaka 4, 01-211 Warszawa
Lokalizacja obiektu	85-830 Bydgoszcz, ul. Sandomierska 39, woj. zachodniopomorskie
Miejsce instalacji anten	Dach budynku
Miejsce instalacji urządzeń	Outdoor
Osoby wykonujące pomiar	[REDAKTOWANE]
Data wykonania pomiaru	17.05.2023
Temperatura na początku pomiaru [°C]	12,0
Temperatura na koniec pomiaru [°C]	12,0
Warunki atmosferyczne	Brak opadów
Wilgotność na początku pomiaru [%]	64,0
Wilgotność na koniec pomiaru [%]	64,0
Godzina na początku pomiaru	10:30
Godzina na koniec pomiaru	11:45
Inne źródła pól elektromagnetycznych oznaczone na załączniku graficznym	Występują
Parametry pracy instalacji	Tryb eksploatacyjny

2. Podstawa prawna.

2.1 Normy i rozporządzenia:

- Rozporządzeniem Ministra Klimatu z dnia 17 lutego 2020 r. w sprawie sposobów sprawdzania dotrzymania dopuszczalnych poziomów pól elektromagnetycznych w środowisku (Dz.U. 2020 poz. 258)
- Rozporządzenie Ministra Zdrowia z dnia 17 grudnia 2019 r. w sprawie dopuszczalnych poziomów pól elektromagnetycznych w środowisku (Dz.U. 2019 poz. 2448)
- Obwieszczenie Marszałka Sejmu Rzeczypospolitej Polskiej z dnia 29 września 2021 r. w sprawie ogłoszenia jednolitego tekstu ustawy - Prawo ochrony środowiska (Dz.U. 2021 poz. 1973)
- Rozporządzenie Ministra Klimatu i Środowiska z dnia 6 maja 2022 r. zmieniające rozporządzenie w sprawie sposobów sprawdzania dotrzymywania dopuszczalnych poziomów pól elektromagnetycznych w środowisku (Dz.U. 2022 poz. 1121).

3. Opis pomiarów

Metodologia pomiarowa	Pomiary w oparciu o Rozporządzeniem Ministra Klimatu z dnia 17 lutego 2020 r. w sprawie sposobów sprawdzania dotrzymania dopuszczalnych poziomów pól elektromagnetycznych w środowisku (Dz.U. 2020 poz. 258) oraz Rozporządzenie Ministra Klimatu i Środowiska z dnia 6 maja 2022 r. zmieniające rozporządzenie w sprawie sposobów sprawdzania dotrzymywania dopuszczalnych poziomów pól elektromagnetycznych w środowisku (Dz.U. 2022 poz. 1121).
Cel badań	Określenie wartości natężenia pola elektrycznego w miejscach dostępnych dla ludności.
Opis zestawu pomiarowego	Miernik Narda NBM 550, Sonda EF9091, o zakresie pomiarowym 0,7 V/m - 300V/m pracująca w paśmie 0,1 – 90 GHz, świadectwo wydane przez Laboratorium Wzorców i Metrologii Pola Elektromagnetycznego, Instytut Telekomunikacji, Teleinformatyki i Akustyki Politechniki Wrocławskiej. Świadectwo ważne do 10.06.2024r. Miernik Narda NBM 550, Sonda EF9091 pracująca w zakresie temperatury -10°C +50°C oraz wilgotności 5% - 95%. Niepewność rozszerzona 59% przy poziomie ufności 95% z uwzględnieniem współczynnika rozszerzenia k=2.
Wyposażenie pomocnicze	Termohigrometr Termoprodukt, typ: Termik+, Nr. inwentarzowy 43/WL, nr identyfikacyjny 1530619, świadectwo wzorcowania nr 0392/AH/20 z dn. 02.03.2020 r. wydane przez Laboratorium Pomiarowe "MUTECH". Dalmierz laserowy BOSH GLM 40, Nr. inwentarzowy 27/WL, nr seryjny 711425432, Świadectwo wzorcowania L4-L41.4180.141.2018.3061.1 z dnia 12 września 2018 wydane przez Pracownia Długości Samodzielnego Laboratorium Długości w Głównym Urzędzie Miar. GPS Garmin 64s okresowo sprawdzany w punktach osnowy geodezyjnej klasy 3 na podstawie licencji punktu, zgodnie z procedurą sprawdzeń okresowych IS/PO16-11/03.
Pomiary zostały wykonane	<ol style="list-style-type: none">1. na głównych i pomocniczych kierunkach pomiarowych, na kierunkach zbliżonych do azymutów anten oraz w dodatkowych pionach pomiarowych zgodnie z wymaganiami pkt 12, 13, 14 i 19 Rozporządzenia Ministra Klimatu z dnia 17 lutego 2020 r. (Dz. U. 2020, poz. 258) oraz Rozporządzenia Ministra Klimatu i Środowiska z dnia 6 maja 2022 r. zmieniającego rozporządzenie w sprawie sposobów sprawdzania dotrzymywania dopuszczalnych poziomów pól elektromagnetycznych w środowisku (Dz.U. 2022 poz. 1121).2. na obszarze pomiarowym, dla którego, na podstawie uprzednio przeprowadzonych obliczeń stwierdzono w miejscach dostępnych dla ludności występowanie pól elektromagnetycznych o najwyższym poziomie, które pochodzą z badanej instalacji zgodnie z wymaganiami pkt 5 ppkt 2 oraz pkt 13 ppkt 1 Rozporządzenia Ministra Klimatu z dnia 17 lutego 2020 r. w sprawie sposobów sprawdzania dotrzymania dopuszczalnych poziomów pól elektromagnetycznych w środowisku (Dz. U. 2020, poz. 258) oraz Rozporządzenia Ministra Klimatu i Środowiska z dnia 6 maja 2022 r. zmieniającego rozporządzenie w sprawie sposobów sprawdzania dotrzymywania dopuszczalnych poziomów pól elektromagnetycznych w środowisku (Dz.U. 2022 poz. 1121). Wyniki obliczeń nie uwzględniały parametrów pracy instalacji innych operatorów występujących na obiekcie bądź w obszarze pomiarowym.3. w miejscach dostępnych dla ludności.4. miejsca niedostępne podczas wykonywania pomiarów wskazane zostały w pkt 6 (tabeli wyniki pomiarów).

Szczególne warunki podczas wykonywania pomiarów

Pomiary wykonane zostały podczas obowiązywania w kraju stanu zagrożenia epidemicznego, zgodnie z art. 122a ust. 1b Ustawy z dnia 27 kwietnia 2001 r. – Prawo ochrony środowiska (Dz. U. z 2019 r. poz. 1396, z późn. zm.9))

Warunki pracy urządzeń nadawczych

Tryb pracy eksploatacyjny.

4. Zróżnicowanie dopuszczalne poziomy pól elektromagnetycznych.

Zakresy znajdują się w Dzienniku Ustaw z dnia 17 grudnia 2019 r. przedstawione są w tabeli nr 2 (Dz. U. z 2019r. poz. 2448).

Parametr fizyczny	Składowa elektryczna E (V/m)	Składowa magnetyczna H (A/m)	Gęstość mocy S (W/m ²)
Zakres Częstotliwości pola elektromagnetycznego			
od 400 MHz do 2000 MHz	$1,375 \times f^{0,5}$	$0,0037 \times f^{0,5}$	f / 200
od 2 GHz do 300 GHz	61	0,16	10

5. Charakterystyka źródeł PEM.

Zgodnie z informacją otrzymaną od Klienta pomiary zostały wykonane przy ustawieniach pochylecia anten zgodnych z pkt. 13, ppkt 2 Rozporządzenia Ministra Klimatu z dnia 17 lutego 2020 roku.

Tabela 1. Anteny sektorowe - dane otrzymane od klienta

Typ anteny	Współrzędne geograficzne	Azymut mechaniczny [°]	Azymut elektryczny [°]	Wysokość zawieszenia anten (środek anteny) n.p.t. [m]	Pasma częstotliwości [MHz]	Zakres pochylecia elektrycznego [°]	Średnie pochylecie anten (ustawione do pomiarów PEM) [°]	Zakres pochylecia mechanicznego [°]	Moc EIRP [W]	Suma EIRP [W]
120125	53°06'26.96"N 18°03'34.35"E	120	120	37,90	2600	1,0 - 7,1	4,1	0,0	19077	19077
120125	53°06'26.96"N 18°03'34.35"E	240	240	37,90	2600	1,0 - 3,8	2,4	0,0	19077	19077
120125	53°06'26.96"N 18°03'34.35"E	355	355	37,90	2600	1,0 - 7,4	4,2	0,0	19077	19077
742213	53°06'26.96"N 18°03'34.35"E	120	120	37,90	2100	0,0 - 6,0	4,1	2,0	7438	7438
742213	53°06'26.96"N 18°03'34.35"E	240	240	37,90	2100	0,0 - 3,8	2,4	0,0	7438	7438
742213	53°06'26.96"N 18°03'34.35"E	355	355	37,90	2100	0,0 - 6,0	4,2	2,0	7438	7438
120325	53°06'26.96"N 18°03'34.35"E	120	120	37,90	1800	1,0 - 7,1	4,1	0,0	5050	16981
					2600	1,0 - 4,0	4,0		7075	
					900	2,0 - 7,1	4,1		4856	
120325	53°06'26.96"N 18°03'34.35"E	240	240	37,90	1800	1,0 - 3,8	2,4	0,0	5050	16981
					2600	1,0 - 4,0	2,4		7075	
					900	2,0 - 3,8	2,4		4856	
120325	53°06'26.96"N 18°03'34.35"E	355	355	37,90	1800	1,0 - 7,4	4,2	0,0	5050	16981
					2600	1,0 - 4,0	4,0		7075	
					900	2,0 - 7,4	4,2		4856	

Tabela 2. Anteny radioliniowe- dane otrzymane od klienta

Typ anteny	Współrzędne geograficzne	Azymut [°]	Średnica [m]	Pasma częstotliwości [GHz]	Zysk energetyczny [dBi]	Moc wyjściowa nadajnika [dBm]	EIRP [W]	Wysokość środka elektrycznego anten n.p.t. [m]
VHLP1-80	53°06'26.96"N 18°03'34.35"E	20	0,3	80	43,5	12	354,81	38,7
UKY 220 45/SC15	53°06'26.96"N 18°03'34.35"E	28	0,6	23	40,5	12	177,83	37,6
ANT3 B 0.3 38 HP	53°06'26.96"N 18°03'34.35"E	79	0,3	38	40,5	8	70,79	35,9
UKY 230 42/14H	53°06'26.96"N 18°03'34.35"E	87	0,6	80	50,5	2	177,83	35,9
ANT3 B 0.3 38 HP	53°06'26.96"N 18°03'34.35"E	96	0,3	38	40,5	3	22,39	35,9
UKY 230 42/14H	53°06'26.96"N 18°03'34.35"E	127	0,6	80	50,5	12	1778,28	35,9
VHLP1-80	53°06'26.96"N 18°03'34.35"E	171	0,3	80	43,5	15	707,95	35,9
VHLP1-80	53°06'26.96"N 18°03'34.35"E	196	0,3	80	43,5	1	28,18	36,0
ANT2 A 0.3 80 HP	53°06'26.96"N 18°03'34.35"E	224	0,3	80	46,5	5	141,25	38,0
VHLP1-38	53°06'26.96"N 18°03'34.35"E	235	0,3	38	40,1	8	64,57	35,9
VHLP1-80	53°06'26.96"N 18°03'34.35"E	247	0,3	80	43,5	6	89,13	35,7
VHLP1-80	53°06'26.96"N 18°03'34.35"E	251	0,3	80	43,5	2	35,48	36,4
VHLP1-80	53°06'26.96"N 18°03'34.35"E	266	0,3	80	43,5	10	223,87	38,0
ANT3 B 0.3 38 HP	53°06'26.96"N 18°03'34.35"E	267	0,3	38	40,5	4	28,18	35,3
VHLP1-80	53°06'26.96"N 18°03'34.35"E	296	0,3	80	43,5	5	70,79	36,0
A38S03HAC	53°06'26.96"N 18°03'34.35"E	331	0,3	38	40,1	9	81,28	35,9
ANT3 B 0.3 38 HP	53°06'26.96"N 18°03'34.35"E	339	0,3	38	40,5	8	70,79	35,3

6. Wyniki pomiarów.

Wyniki pomiarów pól elektromagnetycznych dla celów ochrony środowiska przedstawia poniższa tabela. Piony pomiarowe zostały przedstawione w zał. 2.

Nr PP	Pole-E [V/m]	Pole-E, +U [V/m]	Pole-H [A/m]	Pole-H +U [A/m]	Wys. pomiaru [m]	Opis pionu	Uwagi	WM _E	WM _H
1	0,7*	1,27	0,002	0,003	0,3-2,0	N:53°06'25.9" E:18°03'37.8"	otoczenie stacji bazowej - 50m wzdłuż gł. osi promieniowania - GKP	0,045	0,046
2	0,7*	1,27	0,002	0,003	0,3-2,0	N:53°06'25.3" E:18°03'40.3"	otoczenie stacji bazowej - 100m wzdłuż gł. osi promieniowania - GKP	0,045	0,046
4	1,0	1,59	0,003	0,004	0,3-2,0	N:53°06'24.5" E:18°03'42.5"	otoczenie stacji bazowej - 150m wzdłuż gł. osi promieniowania - GKP	0,057	0,058
5	1,2	1,91	0,003	0,005	0,3-2,0	N:53°06'23.7" E:18°03'44.6"	otoczenie stacji bazowej - 200m wzdłuż gł. osi promieniowania - GKP	0,068	0,069
6	1,2	1,91	0,003	0,005	0,3-2,0	N:53°06'22.9" E:18°03'47.3"	otoczenie stacji bazowej - 250m wzdłuż gł. osi promieniowania - GKP	0,068	0,069
7	1,0	1,59	0,003	0,004	0,3-2,0	N:53°06'21.9" E:18°03'49.7"	otoczenie stacji bazowej - 300m wzdłuż gł. osi promieniowania - GKP	0,057	0,058
8	1,0	1,59	0,003	0,004	0,3-2,0	N:53°06'21.3" E:18°03'52.1"	otoczenie stacji bazowej - 350m wzdłuż gł. osi promieniowania - GKP	0,057	0,058
9	0,9	1,43	0,002	0,004	0,3-2,0	N:53°06'20.9" E:18°03'53.2"	otoczenie stacji bazowej - 380m wzdłuż gł. osi promieniowania - GKP	0,051	0,052
10	0,7*	1,27	0,002	0,003	0,3-2,0	N:53°06'25.9" E:18°03'31.2"	otoczenie stacji bazowej - 50m wzdłuż gł. osi promieniowania - GKP	0,045	0,046
11	0,8	1,27	0,002	0,003	0,3-2,0	N:53°06'25.2"	otoczenie stacji bazowej - 100m	0,045	0,046

„Bez pisemnej zgody Laboratorium niniejsze sprawozdanie nie może być powielane inaczej, jak tylko w całości. Ponadto wyniki dotyczą tylko badanych obiektów przywołanych w niniejszym sprawozdaniu z badań”

						E:18°03'29.2"	wzdłuż gł. osi promieniowania - GKP		
12	0,9	1,43	0,002	0,004	0,3-2,0	N:53°06'24.4" E:18°03'26.8"	otoczenie stacji bazowej - 150m wzdłuż gł. osi promieniowania - GKP	0,051	0,052
13	1,0	1,59	0,003	0,004	0,3-2,0	N:53°06'23.6" E:18°03'24.5"	otoczenie stacji bazowej - 200m wzdłuż gł. osi promieniowania - GKP	0,057	0,058
14	1,3	2,07	0,003	0,005	0,3-2,0	N:53°06'22.8" E:18°03'22.3"	otoczenie stacji bazowej - 250m wzdłuż gł. osi promieniowania - GKP	0,074	0,075
15	0,7*	1,27	0,002	0,003	0,3-2,0	N:53°06'21.0" E:18°03'17.7"	otoczenie stacji bazowej - 350m wzdłuż gł. osi promieniowania - GKP	0,045	0,046
16	0,7*	1,27	0,002	0,003	0,3-2,0	N:53°06'26.5" E:18°03'31.1"	otoczenie stacji bazowej - 50m wzdłuż gł. osi promieniowania - GKP	0,045	0,046
17	0,8	1,27	0,002	0,003	0,3-2,0	N:53°06'25.7" E:18°03'28.9"	otoczenie stacji bazowej - 100m wzdłuż gł. osi promieniowania - GKP	0,045	0,046
18	0,9	1,43	0,002	0,004	0,3-2,0	N:53°06'24.9" E:18°03'26.5"	otoczenie stacji bazowej - 150m wzdłuż gł. osi promieniowania - GKP	0,051	0,052
19	1,0	1,59	0,003	0,004	0,3-2,0	N:53°06'24.0" E:18°03'24.3"	otoczenie stacji bazowej - 200m wzdłuż gł. osi promieniowania - GKP	0,057	0,058
20	1,3	2,07	0,003	0,005	0,3-2,0	N:53°06'23.2" E:18°03'21.7"	otoczenie stacji bazowej - 250m wzdłuż gł. osi promieniowania - GKP	0,074	0,075
21	0,7*	1,27	0,002	0,003	0,3-2,0	N:53°06'22.4" E:18°03'19.6"	otoczenie stacji bazowej - 300m wzdłuż gł. osi promieniowania - GKP	0,045	0,046
22	0,7*	1,27	0,002	0,003	0,3-2,0	N:53°06'21.5" E:18°03'17.2"	otoczenie stacji bazowej - 350m wzdłuż gł. osi promieniowania - GKP	0,045	0,046
23	0,8	1,27	0,002	0,003	0,3-2,0	N:53°06'28.6" E:18°03'35.0"	otoczenie stacji bazowej - 50m wzdłuż gł. osi promieniowania - GKP	0,045	0,046
24	1,0	1,59	0,003	0,004	0,3-2,0	N:53°06'31.9" E:18°03'34.5"	otoczenie stacji bazowej - 150m wzdłuż gł. osi promieniowania - GKP	0,057	0,058
25	1,0	1,59	0,003	0,004	0,3-2,0	N:53°06'33.6" E:18°03'34.2"	otoczenie stacji bazowej - 200m wzdłuż gł. osi promieniowania - GKP	0,057	0,058
26	1,0	1,59	0,003	0,004	0,3-2,0	N:53°06'35.3" E:18°03'33.8"	otoczenie stacji bazowej - 250m wzdłuż gł. osi promieniowania - GKP	0,057	0,058
27	0,8	1,27	0,002	0,003	0,3-2,0	N:53°06'36.7" E:18°03'33.5"	otoczenie stacji bazowej - 300m wzdłuż gł. osi promieniowania - GKP	0,045	0,046
28	0,8	1,27	0,002	0,003	0,3-2,0	N:53°06'38.4" E:18°03'33.2"	otoczenie stacji bazowej - 350m wzdłuż gł. osi promieniowania - GKP	0,045	0,046
29	0,8	1,27	0,002	0,003	0,3-2,0	N:53°06'39.2" E:18°03'33.1"	otoczenie stacji bazowej - 380m wzdłuż gł. osi promieniowania - GKP	0,045	0,046
30	0,7*	1,27	0,002	0,003	0,3-2,0	N:53°06'27.2" E:18°03'37.9"	otoczenie stacji bazowej - 50m wzdłuż gł. osi promieniowania - GKP	0,045	0,046
31	0,8	1,27	0,002	0,003	0,3-2,0	N:53°06'26.9" E:18°03'40.3"	otoczenie stacji bazowej - 100m wzdłuż gł. osi promieniowania - GKP	0,045	0,046
32	0,7*	1,27	0,002	0,003	0,3-2,0	N:53°06'25.0" E:18°03'35.7"	otoczenie stacji bazowej - 50m wzdłuż gł. osi promieniowania - GKP	0,045	0,046
33	0,7*	1,27	0,002	0,003	0,3-2,0	N:53°06'25.2" E:18°03'33.0"	otoczenie stacji bazowej - 50m wzdłuż gł. osi promieniowania - GKP	0,045	0,046
34	0,7*	1,27	0,002	0,003	0,3-2,0	N:53°06'27.1" E:18°03'30.4"	otoczenie stacji bazowej - 50m wzdłuż gł. osi promieniowania - GKP	0,045	0,046
35	0,7*	1,27	0,002	0,003	0,3-2,0	N:53°06'28.7" E:18°03'28.8"	otoczenie stacji bazowej - 100m wzdłuż gł. osi promieniowania - GKP	0,045	0,046
36	0,8	1,27	0,002	0,003	0,3-2,0	N:53°06'28.2" E:18°03'32.9"	otoczenie stacji bazowej - 30m wzdłuż gł. osi promieniowania - GKP	0,045	0,046
37	0,7*	1,27	0,002	0,003	0,3-2,0	N:53°06'28.9" E:18°03'37.2"	otoczenie stacji bazowej - GKP	0,045	0,046
A	0,8	1,27	0,002	0,003	0,3-2,0	N:53°06'38.3" E:18°03'33.6"	Sandomierska 29, pomiar przed budynkiem -DPP	0,045	0,046
B	0,8	1,27	0,002	0,003	0,3-2,0	N:53°06'37.3" E:18°03'33.1"	Sandomierska 20a, pomiar przed budynkiem -DPP	0,045	0,046
C	1,0	1,59	0,003	0,004	0,3-2,0	N:53°06'35.8" E:18°03'34.4"	Sandomierska 22, pomiar przed budynkiem -DPP	0,057	0,058
D	1,0	1,59	0,003	0,004	0,3-2,0	N:53°06'32.4" E:18°03'33.8"	Sandomierska 36a, pomiar przed budynkiem -DPP	0,057	0,058
E	0,8	1,27	0,002	0,003	0,3-2,0	N:53°06'29.3" E:18°03'34.9"	Sandomierska 36, pomiar przed budynkiem -DPP	0,045	0,046
F	0,8	1,27	0,002	0,003	0,3-2,0	N:53°06'29.2" E:18°03'33.7"	Sandomierska 38, pomiar przed budynkiem -DPP	0,045	0,046

G	0,8	1,27	0,002	0,003	0,3-2,0	N:53°06'28.5" E:18°03'32.8"	Baczyńskiego 5, pomiar przed budynkiem -DPP	0,045	0,046
H	0,8	1,27	0,002	0,003	0,3-2,0	N:53°06'28.3" E:18°03'35.6"	Sandomierska 37, pomiar przed budynkiem -DPP	0,045	0,046
I	1,0	1,59	0,003	0,004	0,3-2,0	N:53°06'22.4" E:18°03'49.4"	Laboratoryjna 4, pomiar przed budynkiem -DPP	0,057	0,058
J	0,8	1,27	0,002	0,003	0,3-2,0	N:53°06'25.5" E:18°03'39.0"	Baczyńskiego 13a, pomiar przed budynkiem -DPP	0,045	0,046
K	0,9	1,43	0,002	0,004	0,3-2,0	N:53°06'25.7" E:18°03'36.4"	Baczyńskiego 13, pomiar przed budynkiem -DPP	0,051	0,052
L	0,7*	1,27	0,002	0,003	0,3-2,0	N:53°06'24.1" E:18°03'32.3"	Baczyńskiego 16, pomiar przed budynkiem -DPP	0,045	0,046
M	0,8	1,27	0,002	0,003	0,3-2,0	N:53°06'2.2" E:18°03'34.3"	Sandomierska 35, pomiar przed budynkiem -DPP	0,045	0,046
N	0,7*	1,27	0,002	0,003	0,3-2,0	N:53°06'27.2" E:18°03'29.2"	Łukasiewicza 1, pomiar przed budynkiem -DPP	0,045	0,046
O	1,0	1,59	0,003	0,004	0,3-2,0	N:53°06'24.9" E:18°03'25.0"	Łukasiewicza 3, pomiar przed budynkiem -DPP	0,057	0,058
P	1,2	1,91	0,003	0,005	0,3-2,0	N:53°06'23.0" E:18°03'21.9"	Łukasiewicza 5, pomiar przed budynkiem -DPP	0,068	0,069
R	0,7*	1,27	0,002	0,003	0,3-2,0	N:53°06'21.4" E:18°03'18.9"	Kapuściska 7, pomiar przed budynkiem -DPP	0,045	0,046
S	0,7*	1,27	0,002	0,003	0,3-2,0	N:53°06'21.8" E:18°03'18.1"	Kapuściska 5, pomiar przed budynkiem -DPP	0,045	0,046
T	0,7*	1,27	0,002	0,003	0,3-2,0	N:53°06'20.9" E:18°03'16.5"	Kapuściska 6, pomiar przed budynkiem -DPP	0,045	0,046

Wynik pomiaru pole - E [V/m] - maksymalna wartość chwilowa zmierzona w danym pionie pomiarowym (uśredniona na podstawie punktu 11 załącznika do Rozporządzenia Ministra Klimatu z dnia 17 lutego 2020 r. w sprawie sposobów sprawdzania dotrzymania dopuszczalnych poziomów pól elektromagnetycznych w środowisku (Dz.U. 2020 poz. 258, Dz.U. 2022 poz. 1121)). Zgodnie z pkt. 7 załącznika do Rozporządzenia Ministra Klimatu z dnia 17 lutego 2020 r. w sprawie sposobów sprawdzania dotrzymania dopuszczalnych poziomów pól elektromagnetycznych w środowisku (Dz.U. 2020 poz. 258, Dz.U. 2022 poz. 1121) nie stosuje się poprawek pomiarowych.

Przyjęto najniższą dopuszczalną wartość składowej elektrycznej pola dla objętego pomiarami zakresu częstotliwości $\min(ME_{gr})= 28 \text{ V/m}$ oraz składowej magnetycznej $\min(MH_{gr})= 0,073 \text{ A/m}$.

* - wartość zmierzona poniżej zakresu akredytacji. Do obliczeń przyjęto wartość zgodną z dolną granicą akredytowanego zakresu pomiarowego metody.

GKP - główne kierunki pomiarowe

PKP - pomocnicze kierunki pomiarowe

DPP - dodatkowe punkty pomiarowe

PP - pion pomiarowy

U - niepewność pomiarowa rozszerzona, przy poziomie ufności 95%, z uwzględnieniem współczynnika rozszerzenia $k=2$

WM_E - wartość wskaźnikowa poziomu emisji pól elektromagnetycznych dla miejsc dostępnych dla ludności dla składowej elektrycznej pola

WM_H - wartość wskaźnikowa poziomu emisji pól elektromagnetycznych dla miejsc dostępnych dla ludności dla składowej magnetycznej pola

7. Stwierdzenie zgodności

Na podstawie wytycznych podanych w Rozporządzeniu Ministra Zdrowia z dnia 17 grudnia 2019 r. w sprawie dopuszczalnych poziomów pól elektromagnetycznych w środowisku (Dz.U. 2019 poz. 2448) oraz sposobów sprawdzania dotrzymania tych poziomów zgodnie z Rozporządzeniem Ministra Klimatu z dnia 17 lutego 2020 r. w sprawie sposobów sprawdzania dotrzymania dopuszczalnych poziomów pól elektromagnetycznych w środowisku (Dz.U. 2020 poz. 258) oraz Rozporządzeniem Ministra Klimatu i Środowiska z dnia 6 maja 2022 r. zmieniającego rozporządzenie w sprawie sposobów sprawdzania dotrzymania dopuszczalnych poziomów pól elektromagnetycznych w środowisku (Dz.U. 2022 poz. 1121), dotyczących źródła wymagań, które muszą być spełnione, w oparciu o zasadę podejmowania decyzji zgodną z pkt. 26 Rozporządzenia Ministra Klimatu z dnia 17 lutego 2020 r. (Dz.U. 2020 poz. 258), na podstawie wyników pomiarów pól elektromagnetycznych wykonanych w dniu 17.05.2023 stwierdzono, że wszystkie wyniki przeprowadzonych pomiarów w danym obszarze pomiarowym oraz wyznaczone na tej podstawie wskaźniki WME oraz WMH są mniejsze od wartości dopuszczalnych – zgodnie z przepisami wydanymi na podstawie art. 122 ust. 1 ustawy z dnia 27 kwietnia 2001 r. – Prawo ochrony środowiska

„Bez pisemnej zgody Laboratorium niniejsze sprawozdanie nie może być powielane inaczej, jak tylko w całości. Ponadto wyniki dotyczą tylko badanych obiektów przywołanych w niniejszym sprawozdaniu z badań”

– załącznikiem do Rozporządzenia Ministra Klimatu i Środowiska z dnia 17 lutego 2020 r. w sprawie sposobów sprawdzania dotrzymywania dopuszczalnych poziomów pól elektromagnetycznych w środowisku (Dz.U. 2020 poz. 258, pkt 26).

8. Oświadczenie.

Wyniki badania odnoszą się wyłącznie do badanego obiektu.

Bez pisemnej zgody sprawozdanie nie może być powielane inaczej, jak tylko w całości.

Uwagi i zastrzeżenia przyjmowane są w formie pisemnej.

9. Spis załączników.

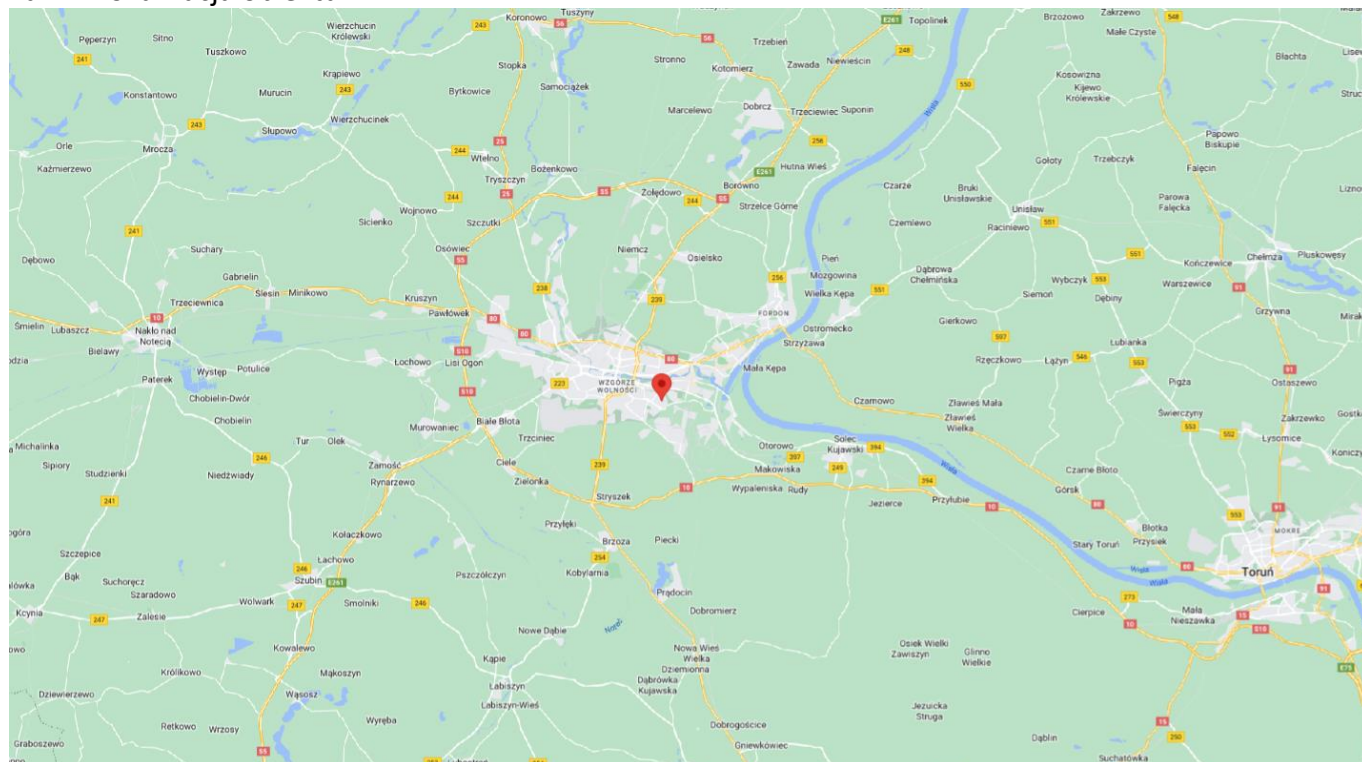
Załącznik 1. Lokalizacja obiektu.

Załącznik 2. Widok pionów pomiarowych

Załącznik 3. Załączniki graficzne

Koniec sprawozdania

Załącznik 1. Lokalizacja obiektu



Współrzędne geograficzne	
długość:	18°03'34.35"E
szerokość:	53°06'26.96"N

Zał. 2. Widok pionów pomiarowych



Załącznik 3. Załączniki graficzne.

